

### Předběžný návrh koncepce kotle a přípravy paliva

- Podle zadaných parametrů se volí typ parního generátoru (výparníku)
  - s přirozeným oběhem,
  - nucenou nebo superponovanou cirkulací
  - průtočný.
- Zvolí se uspořádání kotle a sestaví se tepelné schéma, které určuje
  - posloupnost řazení výhřevných ploch
  - umístění výhřevných ploch po délce traktu spalín
  - rozdělení tepla na jednotlivé plochy
  - volbu teploty ohřátí vzduchu
- Volba schématu závisí na mnoha faktorech :
  - na druhu a vlastnostech paliva
  - na parametrech páry
  - na typu kotle
  - na způsobu regulace teploty páry a dalších

8.11.2019

Stavba kotlů - přednáška č. 7

1

### Vliv parametrů páry na koncepci kotle

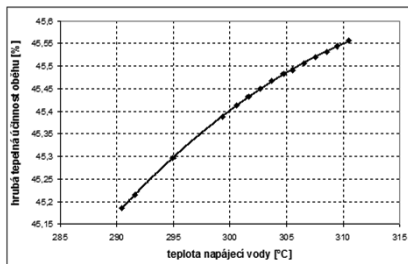
- Kotle se dělí podle tlaku na
  - nízkotlaké - velkoprostorové kotle s provozním tlakem do 2,5 MPa
  - středotlaké - do tlaku 6,4 MPa
  - vysokotlaké - nad 6,4 MPa
    - podkritické - do 22,5 MPa
    - nadkritické.
- U vysokotlakých kotlů je nezbytné zvýšení teploty napájecí vody regenerací tepla
  - z nízkotlakých odběrů turbíny
  - vysokotlakých odběrů turbíny

8.11.2019

Stavba kotlů - přednáška č. 7

2

### Vlivu teploty napájecí vody na účinnost bloku



Závěr : teplota napájecí vody by měla být co nejvyšší

8.11.2019

Stavba kotlů - přednáška č. 7

3

### Posouzení vlivu teploty napájecí vody na konstrukci kotle

S rostoucí teplotou napájecí vody

- klesají teplotní spády na koncových teplosměnných plochách
- zvětšuje se potřebná výhřevná plocha



**kotel vyjde větší**

8.11.2019

Stavba kotlů - přednáška č. 7

4

### Posouzení vlivu teploty napájecí vody na velikost výhřevných ploch kotle pro blok ELE 660 MWe

Předpoklady posouzení :

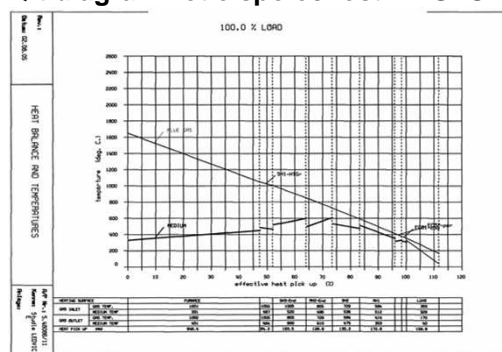
- Rozdělení výkonu bylo převzato z navrženého řešení kotle společností ALSTOM = porovnávací varianta
- Teploty páry před a za jednotlivými plochami se při změně teploty napájecí vody nezmění
- Se změnou teploty napájecí vody nedojde ke změně teploty vody na výstupu z ohříváku vody (ECO), tato teplota bude 331°C pro všechny řešené varianty.
- Teplota předehřevu vzduchu zůstane stejná na úrovni 329°C.

8.11.2019

Stavba kotlů - přednáška č. 7

5

### Q-t diagram kotle společnosti ALSTOM

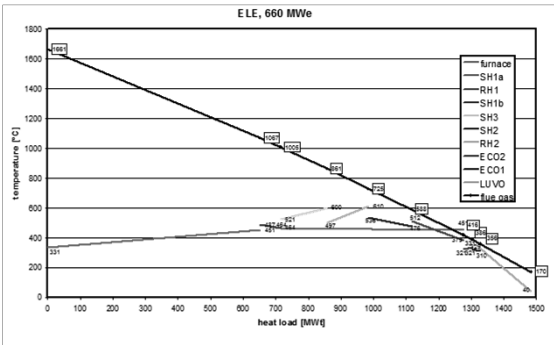


8.11.2019

Stavba kotlů - přednáška č. 7

6

### Q-t diagram kotle dle ČVUT

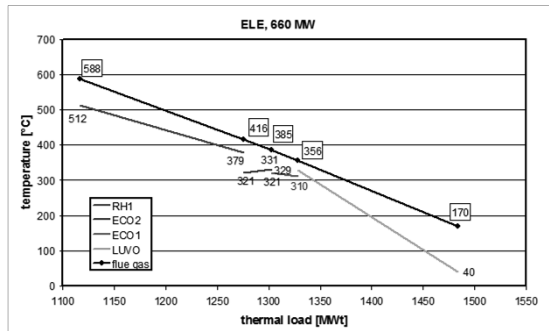


8.11.2019

Stavba kotlů - přednáška č. 7

7

### Koncová část Q-t diagramu kotle pro teplotu napájecí vody 310°C

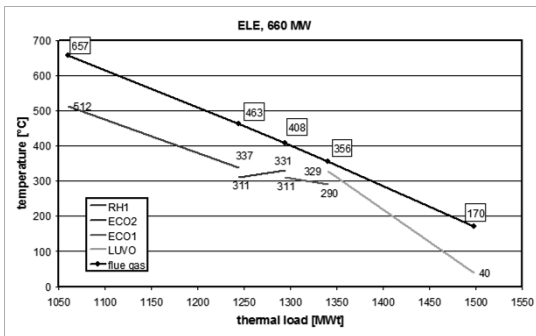


8.11.2019

Stavba kotlů - přednáška č. 7

8

### Koncová část Q-t diagramu kotle pro teplotu napájecí vody 290°C



8.11.2019

Stavba kotlů - přednáška č. 7

9

### Návrhové parametry oběhu v závislosti na změně teploty napájecí vody

	ALSTOM	Změna teploty napájecí vody					
		290.4	295.0	300.6	305.6	310.5	
teplota napájecí vody	°C	309.3	290.4	295.0	300.6	305.6	310.5
tlak napájecí vody	MPa	31.5	31.5	31.5	31.5	31.5	31.5
teplota páry	°C	600.0	600.0	600.0	600.0	600.0	600.0
tlak páry	MPa	28.1	28.0	28.0	28.0	28.0	28.0
průtok páry	th	1880.1	1728.5	1746.8	1770.3	1795.1	1819.7
vstřík	th	111.6	103.7	104.6	106.2	107.7	109.2
průtok vratné páry	th	1539.7	1445.8	1471.4	1505.3	1532.3	1561.2
teplota vratné páry	°C	353.4	337.2	346.9	358.2	368.9	379.0
tlak vratné páry	MPa	5.9	5.2	5.6	6.1	6.6	7.1
teplota přehřáté páry	°C	610.0	610.0	610.0	610.0	610.0	610.0
tlak přehřáté páry	MPa	5.7	5.0	5.4	5.9	6.4	6.9
vstřík do přehřáté páry	th	22.0	22.0	22.0	22.0	22.0	22.0
celkový tepelný výkon kotle	MW	1365.7	1332.3	1329.3	1325.9	1323.2	1320.5
teplota nasávaného vzduchu	°C	40	40	40	40	40	40
teplota předehřevu vzduchu	°C	329	329	329	329	329	329
teplota spalin za kotlem	°C	170	170	170	170	170	170
přebytek vzduchu za kotlem	%	1.2	1.2	1.2	1.2	1.2	1.2
přebytek řízeného vzduchu	%	1.02	1.02	1.02	1.02	1.02	1.02
spodřeta uhlí	th	468.6	457.1	456.1	454.9	454.0	453.1
účinnost kotle	%	91.24	91.24	91.24	91.24	91.24	91.24
účinnost oběhu	%		45.19	45.30	45.41	45.49	45.56

8.11.2019

Stavba kotlů - přednáška č. 7

10

### Porovnání změny velikosti výhřevných ploch

$$Q = k \cdot S \cdot \Delta t_{\log} \quad [MW]$$

Předpoklad: poměry přestupu tepla na výhřevných plochách se nebudou měnit →  $k = \text{konst.}$

$$\frac{Q_2 \cdot \Delta t_{\log 1}}{Q_1 \cdot \Delta t_{\log 2}} = \frac{S_2 - S_1}{S_1} \cdot 100\% = \Delta S_2 \quad [\%]$$

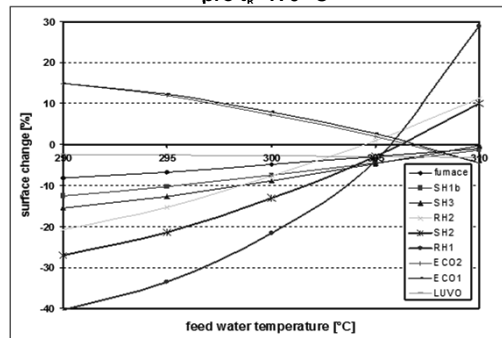
Index 1 označuje porovnávací návrh společnosti ALSTOM

8.11.2019

Stavba kotlů - přednáška č. 7

11

### Relativní změna velikosti ploch pro $t_r = 170^\circ\text{C}$



8.11.2019

Stavba kotlů - přednáška č. 7

12

## Absolutní změna velikosti ploch pro $t_k=170\text{ °C}$

	ALSTOM	290	295	300	305	310	
SH1b	m <sup>2</sup>	1210	-151,25	-124,63	-90,75	-54,45	-16,94
SH3	m <sup>2</sup>	5904	-915,12	-749,808	-525,456	-277,488	-17,712
RH2	m <sup>2</sup>	8647	-1798,58	-1331,64	-657,172	77,823	968,464
SH2	m <sup>2</sup>	12964	-3513,24	-2787,26	-1698,28	-375,956	1309,364
RH1	m <sup>2</sup>	48782	-19659,1	-16390,8	-10585,7	-1951,28	14146,78
ECO2	m <sup>2</sup>	9882	1482,3	1175,958	711,504	197,64	-444,69
ECO1	m <sup>2</sup>	9882	1482,3	1215,486	780,678	266,814	-434,808

8.11.2019

Stavba kotlů - přednáška č. 7

13

## Doporučené teploty napájecí vody a páry Rozdělení výrobního tepla podle tlaku

tlak páry $P_{pp}$ [MPa]	Parametry		Celkové předané teplo $i_{pp} - i_m$ [kJ/kg]	Části tepla na		
	teplota páry $t_{pp}$ [°C]	teplota nap. vody $t_m$ [°C]		ohřátí k bodu varu $\frac{i' - i_m}{i_{pp} - i_m}$ [%]	odpařování $\frac{r}{i_{pp} - i_m}$ [%]	přehřátí $\frac{i_{pp} - i'}{i_{pp} - i_m}$ [%]
1,3	350	105	2708	14,9	72	13,1
3,8	445	145	2708	18,8	62	19,2
9,4	540	225	2511	19,2	49,9	30,9
13,6	570	230	2519	25,5	38,1	36,4
17,5	570	250	2390	26,2	34,3	39,5
25,4	570	260	2261			

8.11.2019

Stavba kotlů - přednáška č. 7

14

## Vliv tlaku na tepelné schéma kotle Střední tlak

- Středotlaké kotle se uplatňují
  - v průmyslových energetických zdrojích
  - v menších teplárnách.
- Řeší se většinou jako bubnové s přirozenou cirkulací.
- Převážná část tepla se využívá pro odpaření vody, proto musí být patřičně dimenzován výparník.
- Výparník obvykle nestačí umístit na stěny spalovací komory, musí být doplněn o konvekční část.
- Do druhého spalínového tahu se umísťuje
  - kotlový svazek ze svislých trubek
  - výparník z meandrovitě tvarovaných desek.
- Bilanci výparníku může zlepšit použití ekonomizéru s částečným odparem vody.

8.11.2019

Stavba kotlů - přednáška č. 7

15

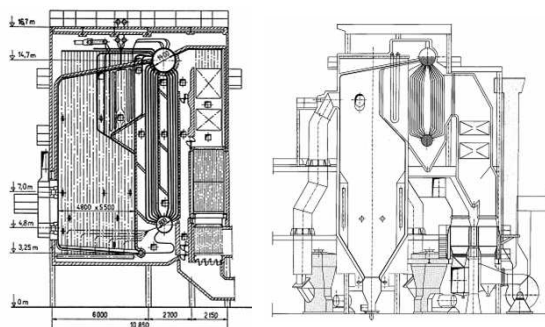
## Střední tlak

- Obecně se v ohništi odevzdá 45 až 60 % z celkového přivedeného tepla podle druhu spalovaného paliva.
- V závislosti na tlaku je pro odpaření vody potřeba 60 až 70 % z celkového výrobního tepla páry.
- Zbytek tepla na odpařování se získává mimo ohniště
  - v kotlovém svazku – má svislé nebo strmě skloněné trubky, pro přestup tepla nepříznivé podélné obtékání spaliny
  - v odpařovacím ekonomizéru - až do suchosti páry na výstupu  $x = 0,15$  až o 20 % výhodnější řešení
- Stěny spalovací komory pokrývá výparník.
- Za ohništěm následuje
  - mříž,
  - kotlový svazek,
  - přehřívák,
  - ekonomizér
  - ohřívák vzduchu.

8.11.2019

Stavba kotlů - přednáška č. 7

16



8.11.2019

Stavba kotlů - přednáška č. 7

17

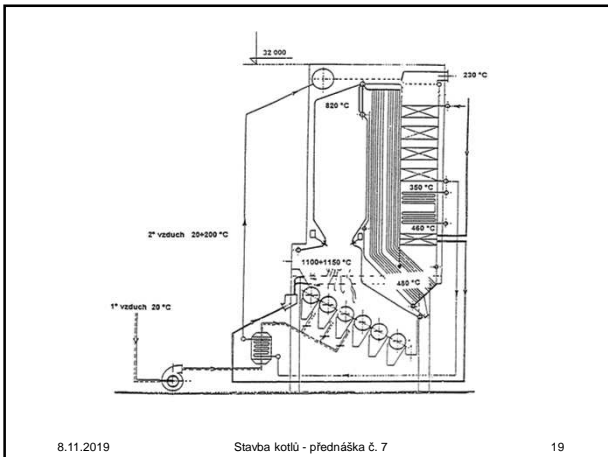
## Kotlový svazek



8.11.2019

Stavba kotlů - přednáška č. 7

18



### Střední tlak

- Přírůstek entalpie pracovní látky v ekonomizéru  $\Delta i_{EKO}$  [kJ/kg] a v kotlovém svazku  $\Delta i_{KS}$  [kJ/kg] musí splňovat podmínku

$$\Delta i_{EKO} + \Delta i_{KS} = (i_{pp} - i_m) - (\Delta i_o + \Delta i_p) \quad [\text{kJ/kg}]$$

kde  $\Delta i_o, \Delta i_p$  [kJ/kg] je přírůstek entalpie v ohništi a přehříváku.

- Při rozdělení EKA na dva díly je nutno dbát, aby na výstupu z prvního dílu byla ještě voda při všech provozních stavech, tj.

$$i_{EKO1} \leq i' - (125 \div 170) \quad [\text{kJ/kg}]$$

8.11.2019 Stavba kotlů - přednáška č. 7 20

### Vysoký tlak

- Využívají se v elektrárnách a ve větších teplárnách
- Zajišťují dodávku páry pro pohon parní turbíny
- Dle provozních požadavků mohou být konstruovány jako
  - bubnové s nucenou cirkulací
  - průtlačné.
- Výparné teplo se snižuje na hodnotu menší než 50% celkového výrobního tepla
- Pro výrobu syté páry postačuje výparník umístěný na stěny ohniště,
  - voda v EKU se neohřívá na bod varu
  - v ohništi se umísťuje sálavý koncový díl ekonomizéru evt. k výstupu polosálavý přehřívák.
- Odpadá kotlový svazek, stačí použití mříže
- Přírůstek entalpie v ekonomizéru se vypočte jako zbytek tepla ze vztahu

$$\Delta i_{EKO} = (i_{pp} - i_m) - (\Delta i_o + \Delta i_{mr} + \Delta i_p) \quad [\text{kJ/kg}]$$

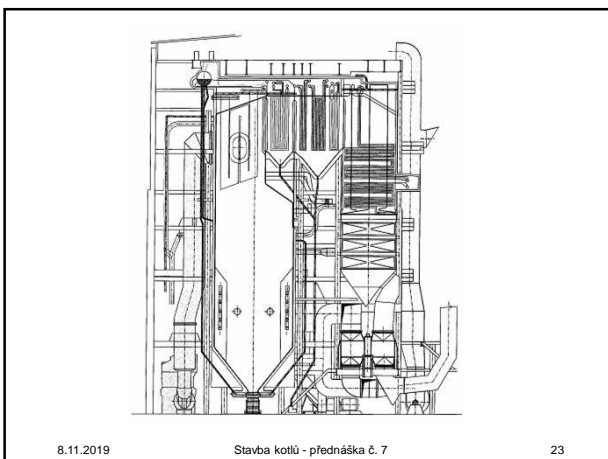
kde  $\Delta i_o, \Delta i_{mr}, \Delta i_p$  [kJ/kg] je přírůstek entalpie v ohništi, mříži a přehříváku

8.11.2019 Stavba kotlů - přednáška č. 7 21

### Velmi vysoký tlak

- Kotle s velmi vysokým tlakem páry se navrhují pro kondenzační elektrárny
- Řeší se převážně jako
  - průtlačné
  - se superponovanou cirkulací
  - výjimečně mohou být i bubnové.
- Použití vyšších tlaků do 14 + 18 MPa je spojeno se zavedením přehřívání (mezipřehřívání) páry.
- Přírůstek entalpie páry v přehříváku představuje asi polovinu přírůstku entalpie ostře páry.
  - je vhodné přehřívák dělit na dva díly
  - výstupní svazek přehříváku se zpravidla umísťuje za výstupním dílem přehříváku, a to v oblasti teplot spalin 800 až 900 °C v závislosti na použitém schématu najždění bloku
  - vstupní díl přehříváku se umísťuje před nebo za první konvekční přehřívák.

8.11.2019 Stavba kotlů - přednáška č. 7 22



### Průtlačné kotle s podkritickým tlakem

- U průtlačného kotle se kontroluje entalpie pracovní látky ve třech místech a sice :
  - vody za ekonomizérem
  - páry za přechodníkem
  - páry za přehřívákem
- Na vstupu do sálavého ekonomizéru umístěného ve výšpce ohniště musí být za všech provozních stavů voda z důvodu rovnoměrného rozdělení pracovní látky do jednotlivých varnic výparníku,
- Maximální entalpie vody na výstupu z konvekčního ekonomizéru (na vstupu do výparníku) musí být

$$i_{EKO2} = i_{vyp} \leq i' - (170 \div 210) \quad [\text{kJ/kg}]$$

8.11.2019 Stavba kotlů - přednáška č. 7 24

### Průtlačné kotle s podkritickým tlakem

- **Poslední část výparníku průtlačného kotle, kde končí odpaření vody a začíná přehřívání, se označuje jako přechodník a nechává se buď**
  - ve spalovací komoře jako nepřerušené pokračování výparníku nebo
  - umísťuje do oblastí nižších teplot (do konvekčního tahu), suchost páry na výstupu z výparníku v rozmezí  $x = 0,75$  až  $0,85$ .

- **Výstupní entalpie z přechodníku  $i_{2p}$  [kJ/kg] se volí tak, aby na výstupu z přechodníku byla vždy mírně přehřátá pára za účelem zabránění usazování solí v následující přehřívákové ploše**

$$i_{2p} = i'' + (85 \div 170) \text{ [kJ/kg]}$$

8.11.2019

Stavba kotlů - přednáška č. 7

25

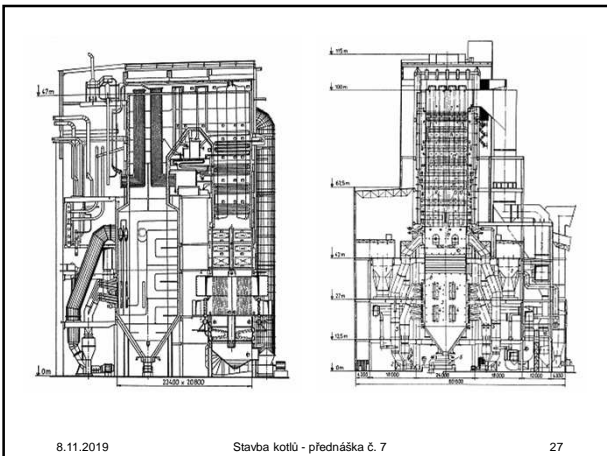
### Průtlačné kotle s podkritickým tlakem

- **Přehřívák se dělí na několik dílů (4 až 5).**
- **Přírůstek entalpie páry v jednotlivých stupních se volí v rozsahu  $\Delta i_p = 125 + 330$  kJ/kg**
  - čím blíže k syté páře, tím větší přírůstek lze v daném rozsahu volit
  - menší hodnota se volí pro výstupní díl přehříváku z důvodu lepší regulace teploty páry.
- **Ve většině případů se používá následující posloupnost řazení jednotlivých dílů přehříváku :**
  - sálavý (nástěnný, stropní),
  - první konvekční (ležatý),
  - polosálavý (deskový, také nazývaný šotový),
  - výstupní konvekční (visutý).
- **Výstupní díl přehříváku se často navrhuje jako souproutý, aby se snížilo extrémní teplotní namáhání a prodloužila životnost daná materiálovými vlastnostmi trubek.**

8.11.2019

Stavba kotlů - přednáška č. 7

26



8.11.2019

Stavba kotlů - přednáška č. 7

27

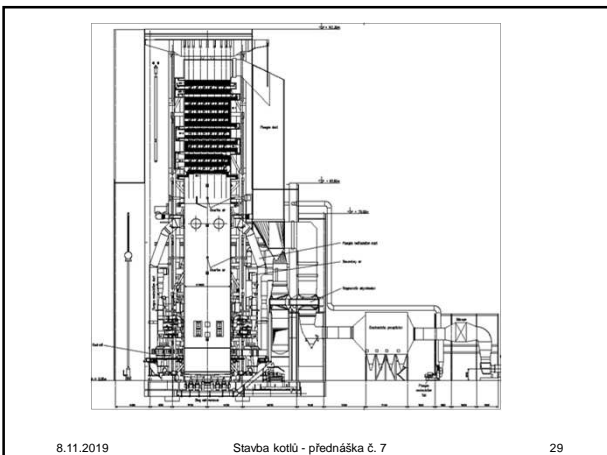
### Průtlačné kotle s nadkritickým tlakem

- **Zachová se klasické členění i umístění ploch v kotli (včetně tzv. výparníku) jako u vysokotlakých kotlů podkritických**
- **Důvody jsou dva:**
  - místo fázové změny se s výkonem kotle mění (průtlačné kotle nemají pevný konec odpaření)
  - při regulaci výkonu bloku s klouzavým tlakem může při sníženém výkonu dojít k poklesu tlaku páry do podkritické oblasti.
- **Proto může být pro návrh nadkritického kotle určující jeho provozní režim při minimálním výkonu.**

8.11.2019

Stavba kotlů - přednáška č. 7

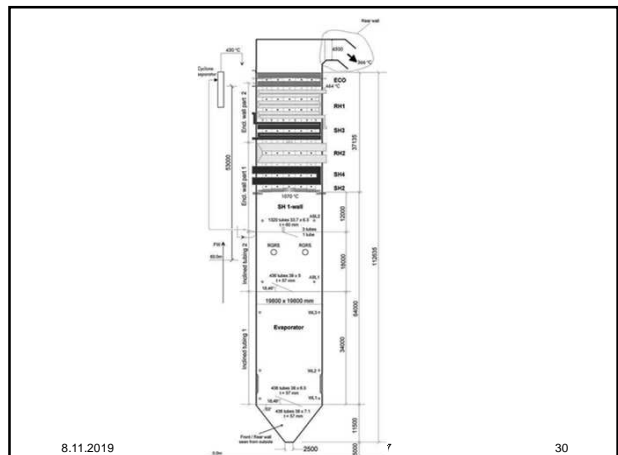
28



8.11.2019

Stavba kotlů - přednáška č. 7

29



8.11.2019

Stavba kotlů - přednáška č. 7

30

## Předběžný návrh koncepce kotle a přípravy paliva

- Podle zadaných parametrů se volí typ parního generátoru (výparníku)
  - s přirozeným oběhem,
  - nucenou nebo superponovanou cirkulací
  - průtočný.
- Zvolí se uspořádání kotle a sestaví se tepelné schéma, které určuje
  - posloupnost řazení výhřevných ploch
  - umístění výhřevných ploch po délce traktu spalín
  - rozdělení tepla na jednotlivé plochy
  - volbu teploty ohřátí vzduchu
- Volba schématu závisí na mnoha faktorech :
  - na druhu a vlastnostech paliva
  - na parametrech páry
  - na typu kotle
  - na způsobu regulace teploty páry a dalších

8.11.2019

Stavba kotlů - přednáška č. 7

31

## Vlastní návrh kotle

### Tepelné schéma a řazení výhřevných ploch

- Výhřevné plochy kotle tvoří
  - ohřívák vzduchu,
  - ohřívák vody,
  - výparník evt. s přechodníkem,
  - přehřívák
  - přihřívák (mezipřehřívák).
- Jednotlivé plochy mohou být
  - jednodílné
  - vícedílné

8.11.2019

Stavba kotlů - přednáška č. 7

32

## Ohřívák vzduchu

- Je vždy řazen jako poslední plocha v kotli
- Z konstrukčního hlediska může být řešen jako
  - rekuperační – trubkový
  - regenerační – rotační Ljungstroem
- Jako dvoudílný je nutno jej řešit při
  - požadovaném velkém ohřátí vzduchu,
  - nízké teplotě spalín do komína,
  - malém poměru tepelných kapacit vzduchu a spalín.
- Mezi oba díly ohříváku vzduchu se pak řadí ohřívák vody.
- Při použití Ljungstroemova ohříváku vzduchu je snaha vystačit s jednodílným provedením.
  - Pokud nelze dosáhnout dostatečného ohřátí vzduchu v jednom dílu, jsou oba díly ohříváku vzduchu řešeny na jednom hřídeli a ohřívák vody je řazen k vysokoteplotovému dílu ohříváku vzduchu paralelně.

8.11.2019

Stavba kotlů - přednáška č. 7

33

## Ohřívák vody

- Ohřívák vody (EKO) se řadí jako další plocha před ohřívák vzduchu (výjimečně v kombinaci s ním)
- Míra ohřevu vody v EKO závisí především na pracovním tlaku.
  - Při nízkém a středním tlaku je nutno odpařit část vody v koncové odpařovací části ekonomizéru
  - Na výstupu z neodpařovacího dílu EKA musí být při všech provozních stavech entalpie vody

$$i_{EKO1} \leq i' - (125 \div 170) \text{ [kJ/kg]}$$

kde  $i'$  [kJ/kg] je entalpie vody na mezi sytosti.

- Při vysokém tlaku je vystačí s neodpařovacím ekonomizérem.
- U průtočného kotle musí být na vstupu do varnic voda
  - platí výše uvedená podmínka pro výstupní entalpii vody z EKA
  - první díl výparníku se někdy též označuje jako sálavý ekonomizér, tvoří stěny výsypky resp. spodní části ohniště.

8.11.2019

Stavba kotlů - přednáška č. 7

34

## Výparník

- U všech kotlů je umístěn v ohništi, jelikož tak lze nejnázne zajistit dostatečné chlazení výhřevné plochy při velkých tepelných tocích.
- U průtočných kotlů končí výparník tzv. přechodníkem, kde se dokončuje odpařování a usazuje zbytek solí, není-li voda zcela demineralizovaná.
- V tom případě se umísťuje přechodník v oblasti menších tepelných toků a vstupní suchost parovodní směsi se volí  $x = 0,75 + 0,85$ .
- Entalpie výstupní páry z přechodníku bývá

$$i_p = i_p'' + (85 \div 170) \text{ kJ/kg}$$

- kde  $i_p''$  [kJ/kg] je entalpie páry na mezi sytosti.

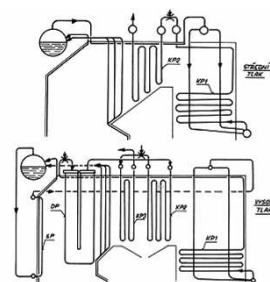
8.11.2019

Stavba kotlů - přednáška č. 7

35

## Přehřívák

- Přehřívák tvoří 2 až 5 sériově řazených dílů.
- O jejich skutečném počtu rozhoduje
  - tlak páry,
  - teplota přehřátí,
  - nároky na dynamické vlastnosti
  - roční využití kotle.
- Rozdíl v počtu a řazení přehříváků pro středotlaký a vysokotlaký kotel je vidět na obrázku:
  - KP – konvekční přehřívák,
  - DP – deskový přehřívák,
  - SP – sálavý přehřívák



8.11.2019

Stavba kotlů - přednáška č. 7

36

## Přehřívák

- Pro špičkové kotle a nízkou teplotu přehřátí se užívá menší počet dílů.
- První přehřívák
  - u dvoutahových kotlů chladí strop evt. stěny vrchní části ohniště či převáděcího kanálu a obrátové komory.
  - u věžových kotlů jsou jako první zapojeny chlazené závěsy konvekčních svazků.
- Druhý díl přehříváku se řadí před ohřívák vody.
  - ohřev páry v něm se volí o 200 + 300 kJ/kg,
  - výstupní teplota bývá cca 370 až 400°C.
- Jako třetí díl následuje deskový přehřívák s ohřevem páry na 460 až 515°C, s předřazeným vstříkem.
- Přehřátí na 530 až 540°C se dokončuje ve výstupním konvekčním přehříváku s  $\Delta t_p$  menším než 125 + 200 kJ/kg.
- Výstupní přehřívák
  - bývá zapojen jako souproutý
  - musí být před přímým sáláním z ohniště chráněn předřazenou mříží, svazkem nebo jinou plochou.

8.11.2019

Stavba kotlů - přednáška č. 7

37

## Návrh celkového uspořádání kotle

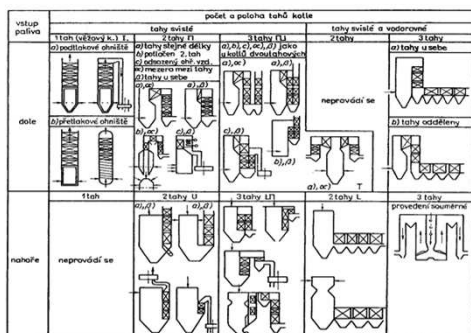
- Volí se
  - způsob spalování a typ spalovacího zařízení,
  - tvar ohniště evt. rozmístění a počet hořáků
  - prostorové uspořádání dodatkových ploch a průtahů.
- Současně je nutno navrhnout
  - dispozici palivového hospodářství
  - uspořádání všech vzduchových, spalinových, palivových i parních potrubí.
- Hlavními kritérii pro posouzení vhodnosti volby celkového uspořádání kotle jsou :
  - minimální investiční náklady kotle, nosné konstrukce i budovy kotelný,
  - minimální provozní náklady
  - maximální provozní spolehlivost a provozní pružnost kotle
- Základní koncepce kotlů lze dělit do čtyř hlavních skupin :
  - pro spalování jakostních tuhých paliv
  - koncepce vhodné pro spalování méněhodnotných tuhých paliv
  - koncepce pro spalování alternativních paliv (např. odpadů) a biopaliv
  - pro spalování kapalných nebo plyných paliv pro velké výkony
  - pro spalování kapalných nebo plyných paliv pro malé výkony

8.11.2019

Stavba kotlů - přednáška č. 7

38

## Jednotlivé koncepční typy

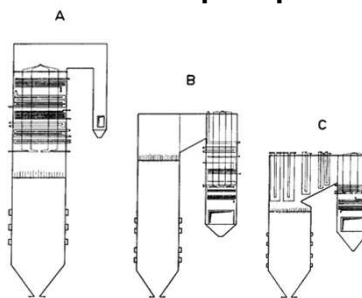


8.11.2019

Stavba kotlů - přednáška č. 7

39

## Granulační kotle pro spalování uhlí



A – věžový kotel, B – dvoutahový II kotel,  
C – dvoutahový II kotel s přehřívákyv přechodovém tahu

8.11.2019

Stavba kotlů - přednáška č. 7

40